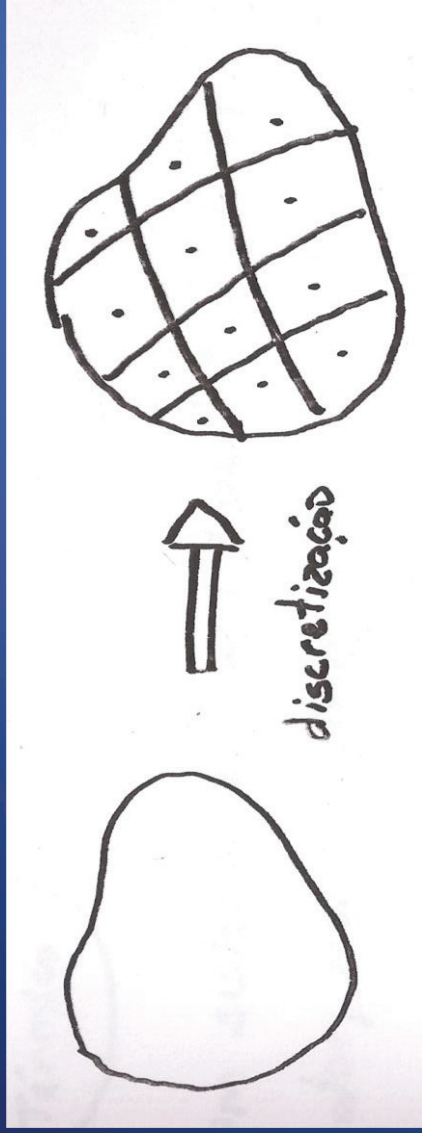


## Capítulo 4

# Princípios da Análise Térmica pelo Método Nodal

## Princípios da análise térmica pelo método nodal



Equações diferenciais - sistema de equações álgebro-diferenciais

Regime transitório – álgebro-diferenciais

Regime permanente – algébrico

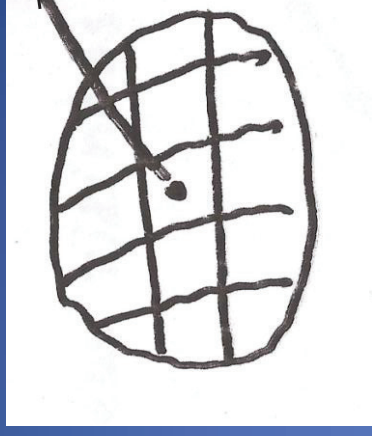
São tratadas pelo método nodal:

- Condução: 1, 2 e 3D (inclusive com propriedades variando c. temp.)
- Radiação: com superfícies negras ou cinzentas meio participante ou não
- Convecção: utilizando o conceito de “h” e por transporte de massa.

Problemas de eng.: condução + radiação + convecção + geometria complexa.

## Princípio da discretização:

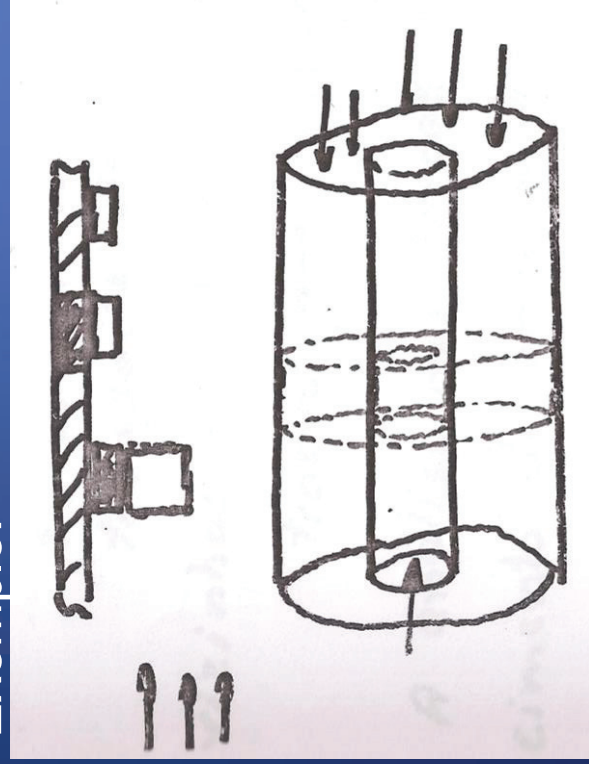
Sistemas térmicos



$V_i, T_i$

Um sistema térmico (trocador de calor, reator, motor elétrico) pode ser decomposto em um número finito de elementos volumétricos ( $V_i$ ) supostos isotérmicos.

Exemplo:



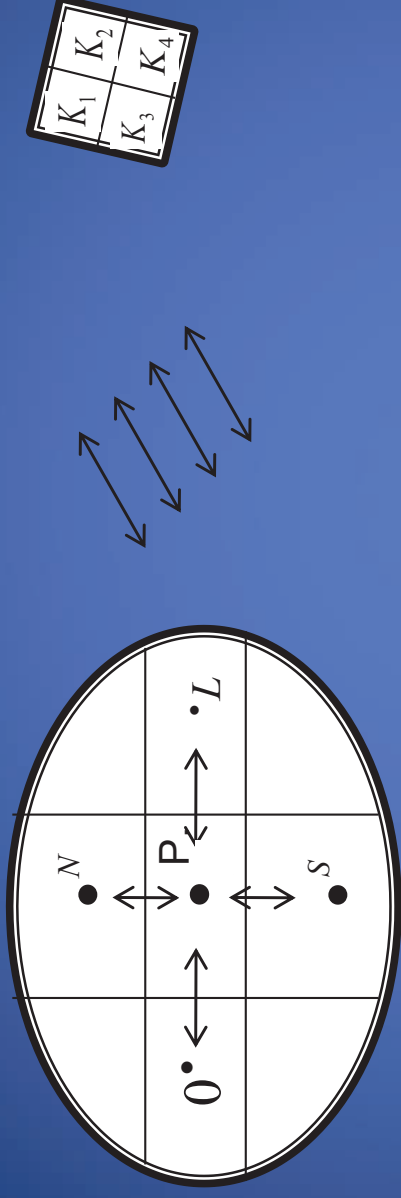
$$C_i = \rho C_p V_i$$

$V_i$  ... volume do nó

$C_p$  ... calor específico

$C_i$  ... capacitância do nó

O nó  $i$  troca energia com um conjunto de nós ( $j$ ) que representam seus vizinhos imediatos ou distantes.



Vizinhos imediatos de  $i$ :  $n, s, e, w$

Trocas por condução, convecção ou transporte de massa.

Vizinhos distantes de  $i$ :  $K_1, K_2, K_3, K_4$

Trocas por radiação

A análise das trocas conduzirá ao estabelecimento de uma malha de “conexões” que serão designadas por condutâncias térmicas.

## Condutância

$$G_{ij}$$

$$\dot{\phi}_{ij} = G_{ij}(T_j - T_i)$$

diferença de temperatura  
entre os nós i e j

$$G = \frac{1}{R}$$

Fluxo de calor

Trocado entre os nós i e j

condutância térmica

- ❖ Descrever um sistema térmico significa portanto instalar uma malha de capacidades de fontes e de condutâncias térmicas.

## Diferentes componentes de um modelo nodal

Equação fenomenologia relativa a um volume infinitesimal dv:

$$\rho C_p \frac{\partial T}{\partial t} dv = (\text{div } \phi') dv + \dot{q} dv$$

(1)

(2)

(3)

- (1) ...taxa de variação de energia interna
- (2) ...balanço de fluxos em dv
- (3) ...dissipação interna ou fonte de calor em dv

Integrando no volume  $V_i$ :

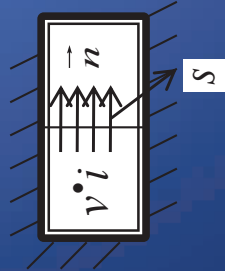
$$\int_{V_i} \rho C_p \frac{\partial T}{\partial t} \partial v = \int_{V_i} (\text{div} \phi') \partial v + \int_{V_i} q \partial v \quad (1) \quad (2) \quad (3)$$

1 – considerando a hipótese de isotermicidade deste volume podemos escrever:

$$\int_{V_i} \rho C_p \frac{\partial T}{\partial t} \partial v = \rho C_p V_i \frac{\partial T}{\partial t} \quad C_i$$

2 – aplicando o teorema de Gree-Ostrogradsky

$$\int_{V_i} (\text{div} \phi') \partial v = \int_S \phi' \cdot \vec{n} \partial s$$



$$\text{Se } \phi' \text{ em paralelos} \Rightarrow \int_S \phi' \cdot \vec{n} \partial s = \phi' \cdot s \quad \phi$$

$$3 - \int_{V_i} q \partial v = q V_i = Q_i$$

$$C_i \frac{\partial T_i}{\partial t} = \phi_{cond} + \phi_{conv} + \phi_{rad.} + \phi_{tr.m.} + Q_i$$

$R^i$  wats

$C_i$  .....capacitância térmica do nó

$C$  ..... fonte de calor dissipado em  $V_i$  (watts)

$\phi_{cond}, \phi_{conv}, \dots$   
Fluxos de calor trocados  
entre o nó  $i$  e seus vizinhos.

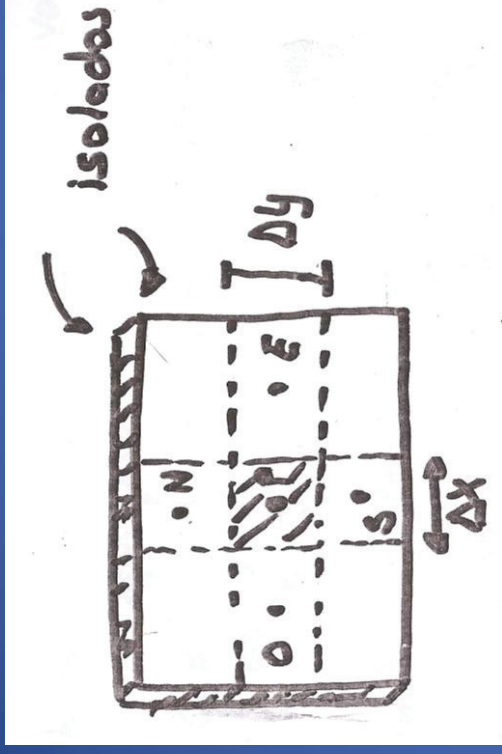
Os fluxos  $\phi$  são contabilizados positivamente quando entram no volume  $V_i$  e negativamente quando estão saindo de  $V_i$ .

Se regime permanente

$$\rightarrow \frac{\partial T_i}{\partial t} = 0$$

$$\phi_{cond} + \phi_{conv} + \phi_{rad.} + \phi_{tr.m.} + Q_i = 0$$

## Dedução da equação de balanço nodal para um problema de condução 2D



$$y \uparrow \quad \rightarrow X$$

$$\rho C_p \frac{\partial T}{\partial t} = \frac{\partial}{\partial X} \left( K \frac{\partial T}{\partial X} \right) + \frac{\partial}{\partial y} \left( K \frac{\partial T}{\partial y} \right) + Q$$

Integrando no volume:

$$\int_{v_i} \rho C_p \frac{\partial T}{\partial t} \partial v = \int_{v_i} \frac{\partial}{\partial X} \left( K \frac{\partial T}{\partial X} \right) \partial v + \int_{v_i} \frac{\partial}{\partial y} \left( K \frac{\partial T}{\partial y} \right) \partial v + \int_{v_i} Q \partial v \quad (1)$$

$$(2)$$

$$(3)$$

$$(4)$$

$$\int_{v_i} Q \partial v = \int_{X}^{X+\Delta X} \int_{y}^{y+\Delta y} \int_{Z}^{Z+\Delta Z} Q \partial X \partial y \partial Z$$



$$1 - \int_{v_i} \rho C_p \frac{\partial T}{\partial t} dv = \int_x^{x+\Delta x} \int_y^{y+\Delta y} \rho C_p \frac{\partial T}{\partial t} dx dy$$

Com a hipótese de isothermicidade no volume:

$$\rho C_p \frac{\partial T}{\Delta t} \int_x^{x+\Delta x} \int_y^{y+\Delta y} dx dy = \rho C_p \Delta x \Delta y \frac{\partial T}{\partial t}$$

Considerando um comprimento unitário em Z:

$$Vp = \Delta x \cdot \Delta y \cdot 1 \Rightarrow \rho C_p Vp \frac{\partial T}{\partial t}$$

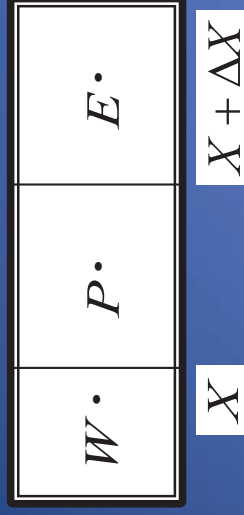
$$2 - \int_{v_i} \frac{\partial}{\partial x} \left( K \frac{\partial T}{\partial x} \right) dv + \int_x^{x+\Delta x} \int_y^{y+\Delta y} \frac{\partial}{\partial x} \left( K \frac{\partial T}{\partial x} \right) dy dx = \int_x^{x+\Delta x} \frac{\partial}{\partial x} \left( K \frac{\partial T}{\partial x} \right) dy dx = \left[ \left( K \frac{\partial T}{\partial x} \right)_{x+\Delta x} - \left( K \frac{\partial T}{\partial x} \right)_x \right]$$

W.	P.	E.
----	----	----

XI

IX + ΔX

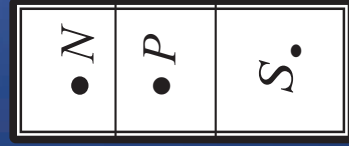
Representando as derivadas pelo método das derivadas centradas:



$$\left( K \frac{\partial T}{\partial X} \right)_{X+\Delta X} = K \frac{T_E - T_P}{\Delta X_{PE}}$$

$$\left( K \frac{\partial T}{\partial X} \right)_{X-\Delta X} = K \frac{T_P - T_W}{\Delta X_{WP}}$$

3 – analogamente na direção y temos:



$$y + \Delta y \left( K \frac{\partial T}{\partial y} \right)_{y+\Delta y} = K \frac{T_N - T_P}{\Delta y_{PN}}$$

$$\left( K \frac{\partial T}{\partial y} \right)_y = K \frac{T_P - T_S}{\Delta y_{PS}}$$

4 -  $\int_{\vec{V}} q \partial v = q \Delta x \cdot \Delta y$

assumindo  $\Delta Z = 1 \Rightarrow 9 \cdot \Delta X \cdot \Delta y \cdot \Delta Z = Q_P$

Finalmente juntando os termos:

$$\rho C_p V_p \frac{\partial T_P}{\partial t} = \frac{K \Delta y}{\Delta X_{PE}} (T_E - T_P) - \frac{K \Delta y}{\Delta X_{PW}} (T_P - T_W) + \frac{K \Delta X}{\Delta y_{PN}} (T_N - T_P) - \frac{K \Delta X}{\Delta X_{PS}} (T_P - T_S) + \dot{Q}_r$$

Fazendo  $\Delta Z$  unitário podemos escrever:

$$G_{EP} = \frac{K \Delta y}{\Delta y_{PN}} \cdot \Delta Z \quad (A_y)$$

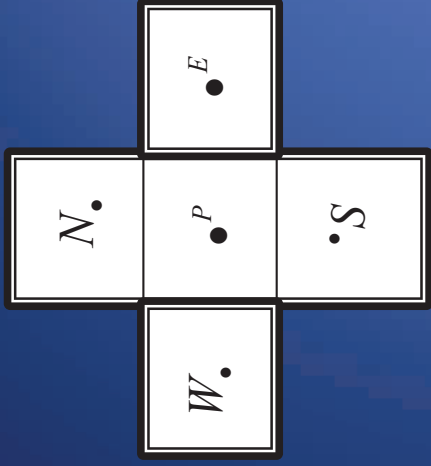
área perpendicular  
ao fluxo de calor

$$G_{EP} = \frac{K A_y}{\Delta y_E}, \quad G_{WP} = \frac{K A_y}{\Delta X_{PW}}$$

$$G_{NP} = \frac{K A_y}{\Delta y_{PN}}, \quad G_{SP} = \frac{K A_x}{\Delta X_{SP}}$$



$$C_P \frac{\partial T_P}{\partial t} = G_{EP}(T_E - T_P) + G_{WP}(T_W - T_P) + G_{NP}(T_N - T_P) + G_{SP}(T_S - T_P) + \dot{Q}_P$$



fluxo de calor trocado entre E e P

$$C_P \frac{\partial T_P}{\partial t} = G_{EP}(T_E - T_P) + G_{PW}(T_W - T_P) + G_{NP}(T_N - T_P) + G_{SP}(T_S - T_P) + Q$$

$$C_P \frac{\partial T_P}{\partial t} = \phi_{EP} + \phi_{PW} + \phi_{NP} + \phi_{SP} + \phi_P$$

$$\phi_{EP} = \frac{KA}{\Delta X_{PE}} (T_E - T_P)$$

$$\text{Se } T_E > T_P \Rightarrow (T_E - T_P) > 0 \Rightarrow \phi_{EP} > 0$$

(fluxo entrando no volume P)

$$\text{Se } T_E < T_P \Rightarrow (T_E - T_P) < 0 \Rightarrow \phi_{EP} < 0$$

(fluxo saindo do volume P)

## Noção de nós de difusão e de capacitância

De acordo com o desenvolvimento mostrado, integrando-se a equação de balanço de energia no volume nodal  $V_i$ , obtemos a expressão da condutância térmica.

$$C_i = \int_{V_i} \rho_i c_{pi} \partial V_i \quad [C_i] = \frac{J}{K}$$

Sendo o nó homogêneo:

$$C_i = \rho_i c_{pi} V_i$$

Portanto um nó associado a um elemento de volume possui uma capacitância térmica e é denominado Nó de difusão

Equação de balanço nodal para um nó de difusão.

$$C_i = \frac{\partial T_i}{\partial t} = \dots$$

A capacitância aparece junto a derivada temporal

$C_i$  representa fisicamente a inércia térmica do nó 

## Noção de nós aritméticos

Em certas ocasiões é necessário conhecer a temperatura superficial de um nó de difusão. Por exemplo em problemas de convecção:



Se utilizarmos o ponto  $P$  para o cálculo do calor trocado por convecção com o meio ambiente, vamos obter resultados errôneos. Por isso usamos o conceito de nó aritmético.

$$C_s = \frac{\partial S_s}{\partial t} = \phi_{cond} + \phi_{conv} + \phi_{rad} + Q_s$$

$$= 0$$

Este tipo de nó não tem mais capacitância térmica pois seu volume é nulo. Sua temperatura evolui no tempo pois está associado à temperatura de seus vizinhos.

## Noção de fonte de calor

É quando um nó possui uma dissipação interna ou quando ele está submetido a uma fonte externa de calor.

Exemplo: - Elemento combustível

- Nó submetido a um fluxo solar

$$Q_i = \int_{V_i} q'' \partial V [Q] = W$$



Densidade volumétrica ( $W/m^3$ ) Se a densidade de calor for uniforme:

$$Q_i = q'' V_i$$

Pode-se afetar uma fonte de calor a um nó aritmético:

$$Q_i = \int_{V_i} q'' \partial S$$



Densidade superficial ( $W/m^2$ )

## Noção de condutância

Expressão do fluxo de calor trocado entre Z nós sejam eles de difusão o

aritméticos:

$$\phi_{ij} = G_{ij} (T_j - T_i)$$



Depende do tipo de troca térmica entre os nós **i** e **j**

Para geometrias cartesianas:

<u>Símbolo</u>	<u>NATUREZA</u>	<u>Fluxo</u>	<u>Condutância</u>
	condução	$\phi = \frac{kS}{L} (T_j - T_i)$	$kS/L$
	convecção	$\phi = hS (T_j - T_i)$	$hS$
	tr. massa	$\phi = \dot{m} c_p (T_j - T_i)$	$\dot{m} c_p$
	radiação	$\phi = \epsilon_i d_j S F_{ij} \sigma (T_i^4 - T_j^4)$	$\epsilon_i d_j S F_{ij} \sigma \cdot (T_j^4 + T_i^4) (T_j + T_i)$



Condutância não dependete



Condutância fluida



Condutância dependente



## Determinação das condutâncias condutivas

Condutância → linhas de fluxo

Levando ao extremo, podemos dizer que para determinar as condutâncias, é necessário conhecer a solução do problema:

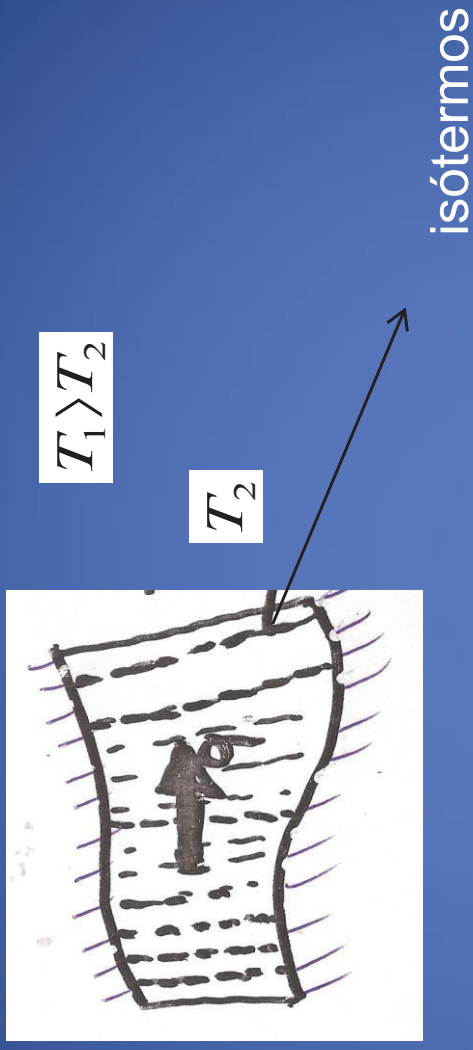
- Malha fina nas regiões de gradientes elevados
- Decomposição nodal baseada nas linhas de fluxo

Cálculo das condutâncias de condução em geometrias elementares:

- Placa plana
- Tronco de cone
- Cilindros
- Esferas
- Trapézios

Hipóteses: estrutura do escoamento termocinético conhecido e fluxo conservativo  
 $T_1 > T_2$

EX:



### Equação de balanço nodal

$$C_i \frac{\partial T_i}{\partial t} = \sum_j G^c_{ij}(T_j - T_i) + \sum_k G^r_{ik}(T_k - T_i) + Q_i(t)$$

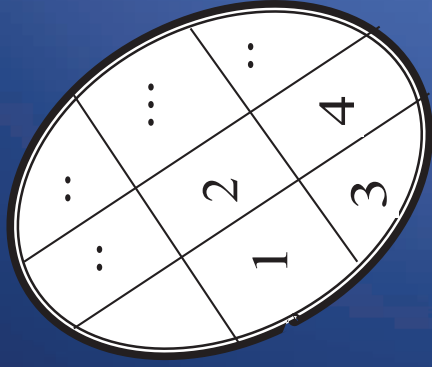
Taxa de

Varição da

Energia Interna

Balanco de fluxos no nó

Fonte



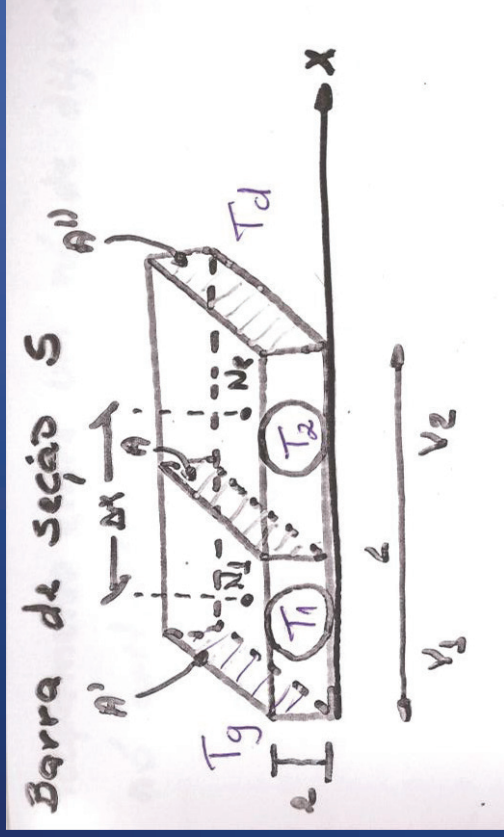
$$\left\{ \begin{array}{l} C_1 \frac{\partial T_1}{\partial t} = G_{12}(T_2 - T_1) + \dots\dots\dots \\ C_2 \frac{\partial T_2}{\partial t} = G_{21}(T_1 - T_2) + G_{23}(T_3 - T_2) + \dots\dots\dots \end{array} \right.$$

Sistemas de eq. Álgebro-diferenciais acoplado e não-linear

MODELO – conjunto de equações que representam a fenomenologia

SIMULAÇÃO – resolução deste conjunto de equações

## Barra de seção S



Condução 1D estacionário:

$$T_2 > T_1$$

$$V_1 \text{centro} N_1$$

$$V_2 \text{centro} N_2$$

Condução 1D estacionário:

$$T(x) = T_g + \frac{T_d - T_g}{2\Delta X} x = \frac{T_2 - T_1}{\Delta X} \left( x - \frac{\Delta X}{2} \right)$$

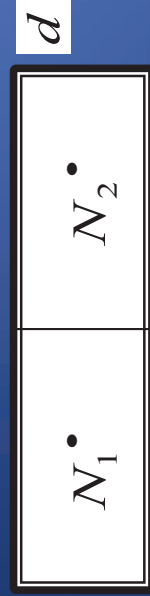
Acomplamento entre  $N^1$  e  $N^2$

$$\left. \begin{aligned} \phi &= \int_A K \text{grad} T \delta s \\ \phi &= KS \frac{T_2 - T_1}{\Delta X} \\ \phi &= KS \Delta T \end{aligned} \right\} G = \frac{KS}{\Delta X}$$

A expressão de  $G$  é exata somente para estas condições de contorno.  
Para outras configurações ela é aproximada.

Acomplamento entre um nó de difusão e um nó aritmético:

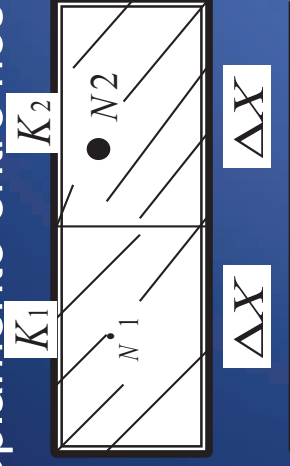
$$\left. \begin{aligned} \phi &= \int_A K \text{grad} T \delta s \\ \phi &= G' \Delta T \end{aligned} \right\} G' = \frac{\int_A K \text{grad} T \delta s}{\Delta T}$$



$$\int_A K \text{grad} T = K \frac{T_Z - T_\theta}{\Delta X / Z} S$$

$$G' = \frac{K \frac{T_Z - T_\theta}{\Delta X / Z} S}{T_Z - T_\theta} = \frac{ZKS}{\Delta X} = ZG$$

Acoplamento entre nós de difusão com materiais diferentes



Nós de difusão N1, N2

Nó aritmético d

Considerando que existe conservação de fluxo:

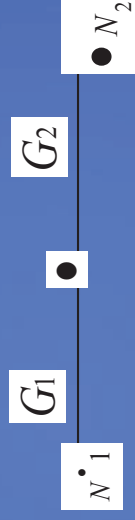
$$\phi = G_1(T_\theta - T_1) = G_2(T_2 - T_\theta)$$

$$G_1 = \frac{2K_1S}{\Delta X}, G_2 = \frac{2K_2S}{\Delta X}$$

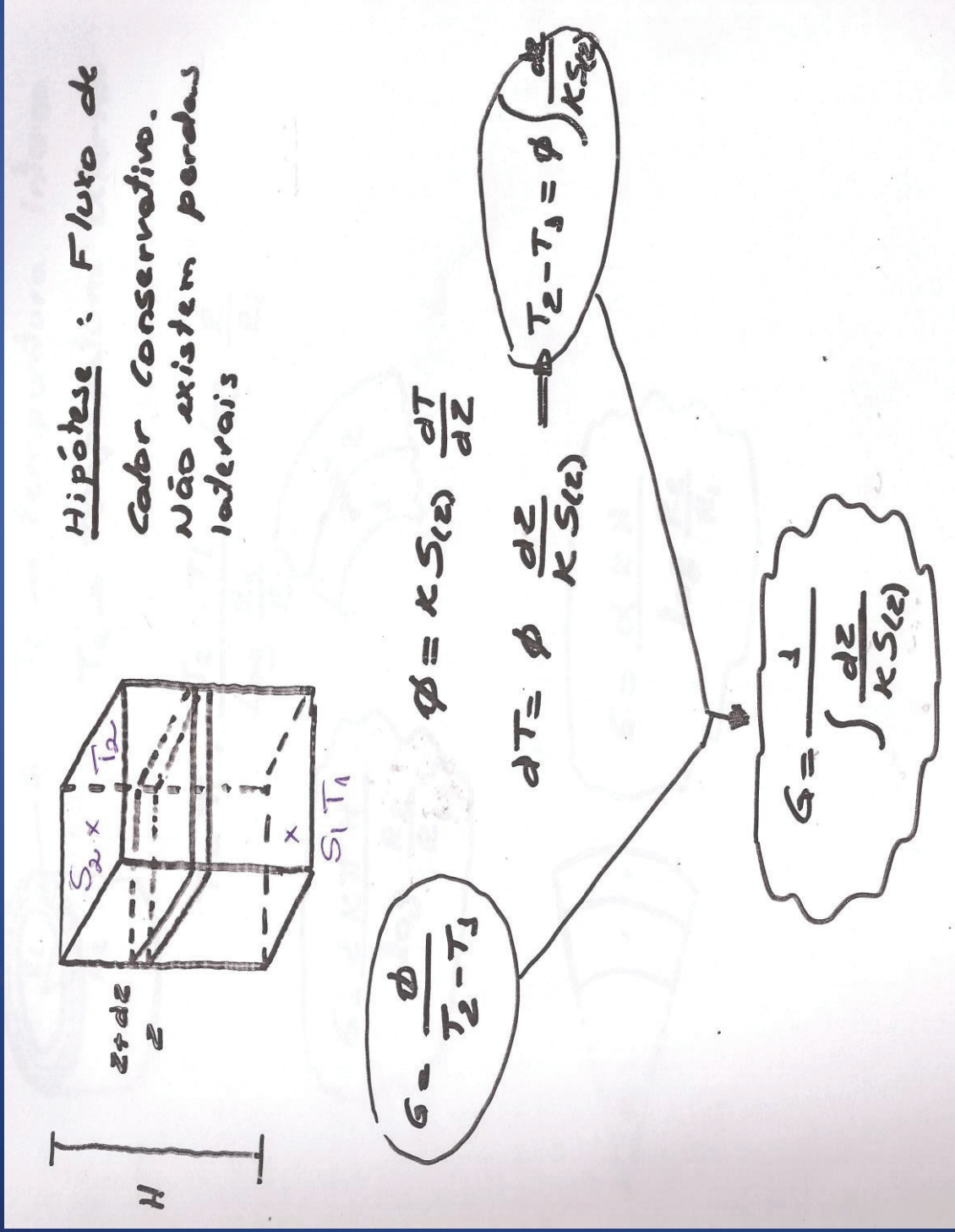
$$\begin{cases} T_2 - T_\theta = \phi / G_2 \\ T_\theta - T_1 = \phi / G_1 \end{cases}$$

$$T_2 - T_1 = \phi \left( \frac{1}{G_1} + \frac{1}{G_2} \right) = \frac{\phi}{G_{12}}$$

$$G_{12} = \frac{G_1 G_2}{G_1 + G_2}$$



# Acoplamento entre nós aritméticos: Cálculo de uma resistência 3D

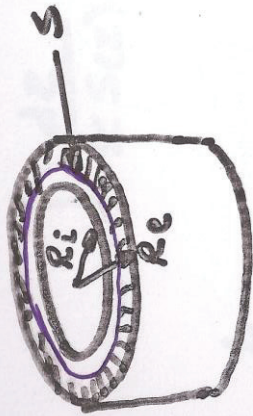


No caso da figura acima:

$$G = \frac{KS^{\circ}}{H}$$



# Coordenadas cilíndricas



$T_i$  → temperatura interno  
 $T_e$  → temperatura externo

$$T = T_i + \frac{T_e - T_i}{\log \frac{R_e}{R_i}} \log \frac{R}{R_i}$$

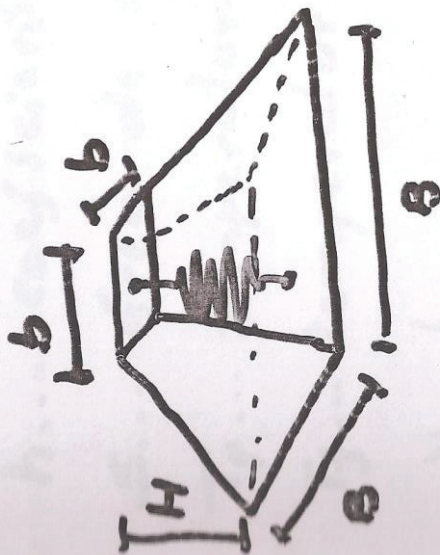
$$G = \frac{2k\pi H}{\log \frac{R_e}{R_i}}$$



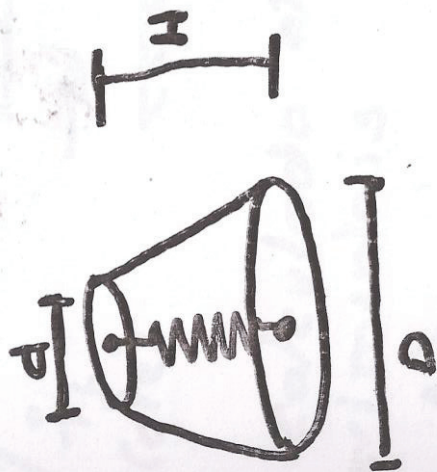
$$G = \frac{\alpha k H}{\log \frac{R_e}{R_i}}$$



$$G = \frac{1}{\int \frac{dz}{kS(z)}}$$



$$G = \frac{kbB}{H}$$



$$G = \frac{H^4}{4\pi kbD}$$

## Determinação das condutâncias convectivas

$$\phi = h_s(T_p - T_f)$$

$h...$  coeficiente de película

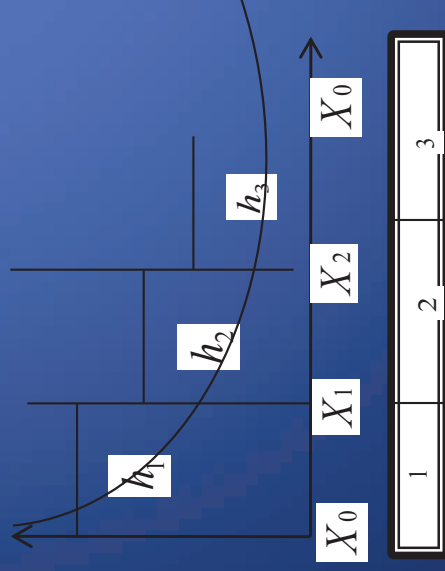
$S...$  área de contato

$T_p...$  temperatura da interface sólido/fluido

$T_f...$  temperatura do fluido



$h...$  é calculado através de correlações experimentais



Conhecendo-se a variação de  $h...$  com  $h...$

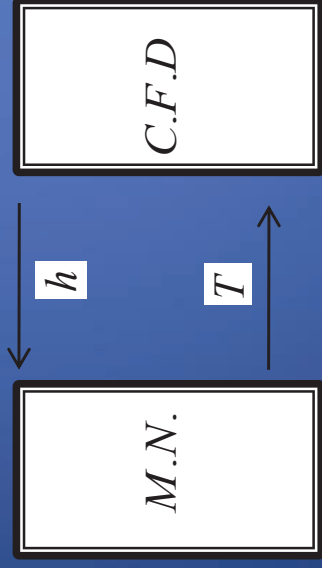
Calcula-se  $h_1, h_2$  e  $h_3$  como os valores médios entre

$$X_0 - X_1, X_1 - X_2, X_2 - X_3$$

Nota importante:

O método nodal só pode ser utilizado em problemas onde  $h$  é conhecido. Caso isto não seja possível, várias estratégias devem ser adotadas:

- Buscar uma configuração aproximada on  $h$  possa ser estimado e em seguida fazer uma análise de sensibilidade.
- Acoplar um modelo baseado no M.N. a uma técnica de modelagem fina do escoamento (programas de C.F.D.)



Transferência de condições de contorno.

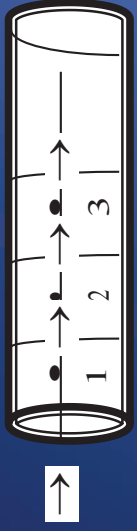
$h$  dependente da temperatura:

$$G = h(T)S$$

não linearidade

Só são importantes quando existem grandes variações de temperatura.

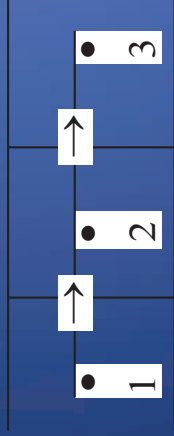
## Determinação das condutâncias fluidos



Nó 1 está acoplado ao nó 2 mas nó 2 não está acoplado ao nó 1

Hipóteses:

- fluidos incompressível
- não há dissipação viscosa
- não há difusão de calor no sentido de escoamento



Entalpia entrando no nó 2 no intervalo de  $\Delta t$

$$H_{1 \rightarrow 2} = \rho C_p S u \Delta t T_1 \dot{m}$$

Entalpia deixando o nó 2

$$H_{2 \rightarrow 3} = \rho C_p S u \Delta t T_2 \dot{m}$$

Balanco energético em Z:

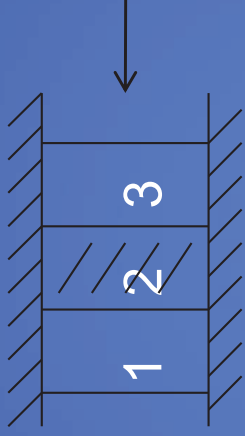
$$\phi = \dot{Q}_{1 \rightarrow 2} - \dot{H}_{2 \rightarrow 3} = \dot{m} C_p (T_1 - T_2)$$

OU

$$G = \dot{m} C_p$$



$$\phi_2 = \dot{m} C_p (T_1 - T_2)$$



$$\phi_2 = \dot{m} C_p (T_3 - T_2)$$

Exemplo:

Gc – condução /convecção

Gf – Tr. de massa

## Determinação das condutâncias radiativas

$$\phi = \xi_1 \alpha_2 T S_1 F_{1-2} (T_2^4 - T_1^4)$$

$$\phi = \xi_1 \alpha_2 T S_1 F_{1-2} (T_1^2 + T_2^2)(T_1 + T_2)(T_1 - T_2)$$

$$G_{12}''$$

$G_{12}'' \rightarrow$  bastante não linear (condutância dependente)



2

$$\begin{cases} C_1 \dot{T}_1 = G_{12}'' (T_2 - T_1) \\ C_1' \dot{T}_2 = G_{12}'' (T_1 - T_2) \\ G_{12}'' = \xi_1 \alpha_2 T S_1 F_{1-2} (T_1^2 + T_2^2)(T_1 + T_2) \end{cases}$$

As condutâncias radiativas devem ser estimadas no processo iterativo. Portanto temos apenas 2 nós mas um sistema de 3 eq. a 3 incógnitas.

## Integração das equações de balanço

$$C_i \frac{dT_i}{dt} = \sum_j G_{ij}^c (T_j - T_i) + \sum_k G_{ik}^r (T_k - T_i) + Q_i(t)$$

Noção de constante de tempo de um nó:

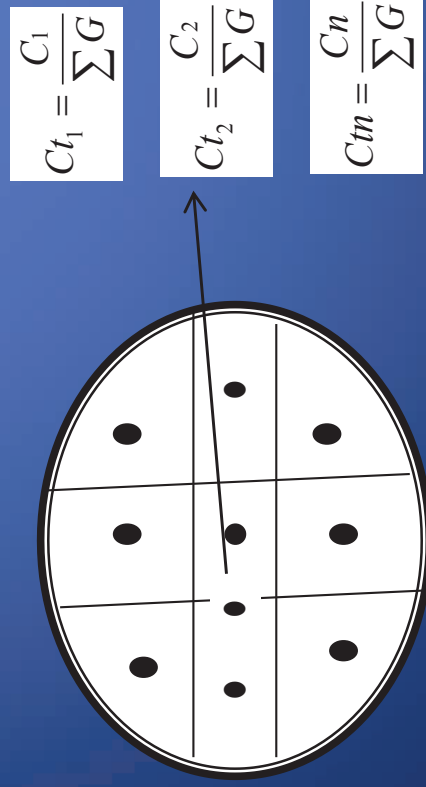
$$C_i = \frac{C_i}{\sum G}$$

$C_i$ .... inércia térmica do nó

$\sum G$ ... quanto o nó  $i$  está acoplado aos seus vizinhos

$C_{t_i}$  representa a taxa de variação da temperatura do nó  $i$  no tempo.

\* A constante de tempo que determina o passo de integração é a menos das constantes de tempo do modelo.



peço integração → é determinado por  $C_{t_2}$

## Método explícito versus método implícito

$$C_i \frac{dT_i}{dt} = \sum_j G_{ij}^c (T_j - T_i) + \sum_k G_{ik}^r (T_k - T_i) + Q_i(t)$$

Simular um modelo significa integrar no tempo um sistema de equações diferenciais ordinárias.

Método explícito:

$$C_i \frac{T_i^{t+\Delta t} - T_i^t}{dt} = \sum_j G_{ij}^c (T_j^t - T_i^t) + \sum_k G_{ik}^r (T_k - T_i) + Q_i(t)$$

Incógnita  $\rightarrow T_i^{t+\Delta t}$

Portanto ao lado direito da equação é conhecido as equações são desacopladas

Vantagem  $\rightarrow$  fácil de ser implementado

Desvantagem  $\rightarrow$  passo de integração limitado

$$\Delta t \leq \min(cti)$$



Método implícito:

$$C_i \frac{T_i^{t+\Delta t} - T_i^t}{\Delta t} = \sum_j G_{ij} (T_j^{t+\Delta t} - T_i^{t+\Delta t}) + \sum_k G_{ik} \left( T_k^{t+\Delta t} - T_i^{t+\Delta t} \right) + Q_i$$

Incógnitas  $\rightarrow T_i^{t+\Delta t}, T_j^{t+\Delta t}, T_k^{t+\Delta t}$

- lado direito não é conhecido
- equações acopladas
- para cada passo de tempo são necessárias iterações

$$\Delta t \leq \min(cti)$$

Vantagem  $\rightarrow$  passo de integração flexível não há a restrição

Desvantagem  $\rightarrow$  implementação mais complexa

Métodos diretos são pouco usados devido ao tempo e memória necessários na inversão das matrizes+ usadas métodos iterativos :

Jacob

Gauss-Seidl

A.D.I.

## Método de Crank-Nicholson (semi-implícito)

$$C_i \frac{T_i^{t+\Delta t} - T_i^t}{\Delta t} = \sum_j G_{ij} \left( T_j^{t+\frac{\Delta t}{2}} - T_i^{t+\frac{\Delta t}{2}} \right) + \dots$$

Onde  $T_i^{t+\frac{\Delta t}{2}} = (T_i^t + T_i^{t+\Delta t})/2$

$$C_i \frac{T_i^{t+\Delta t} - T_i^t}{\Delta t} = \underbrace{\sum_j \frac{G_{ij}}{Z} (T_j^t - T_i^t) + \sum_j \frac{G_{ij}}{Z} (T_j^{t+\Delta t} - T_i^{t+\Delta t}) + \dots}_{\text{parte implícita}}$$

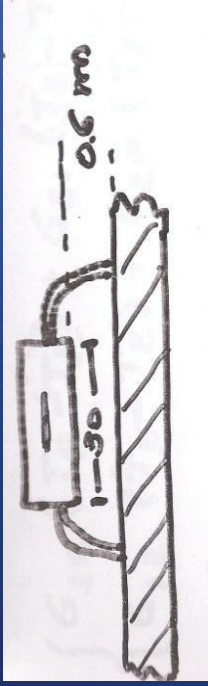
Parte explícita

Vantagem → passo de integração grandes incondicionalmente estável

Desvantagem → equações acopladas, difícil implementação

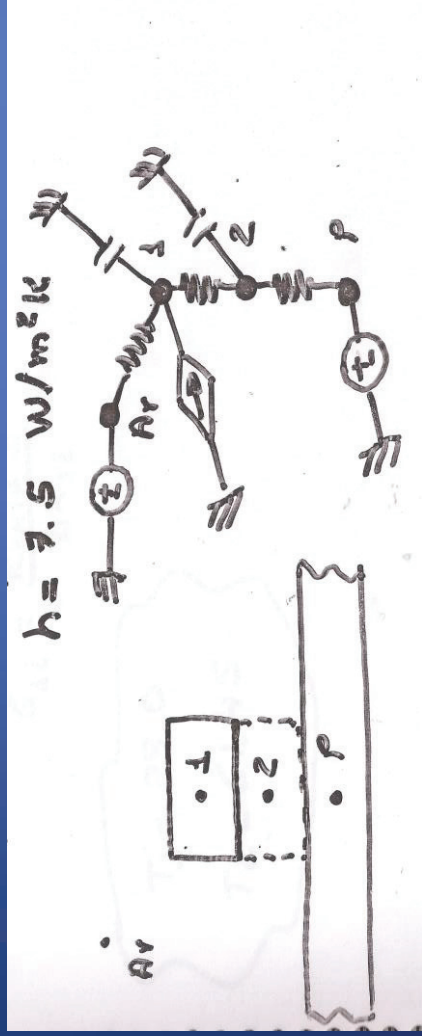
CONVERGÊNCIA ↔ PRECISÃO

## Exemplo de aplicação:



### Hipóteses:

- Condução pelas pernas desprezível
- Temperatura da placa conhecida  $T_p=44^\circ\text{C}$
- Camada de ar imóvel sob o chip
- Temperatura ambiente  $T_a = 20^\circ\text{C}$
- Dissipação  $Q_c = 0.5\text{W}$
- Resfriamento por conv. nat.

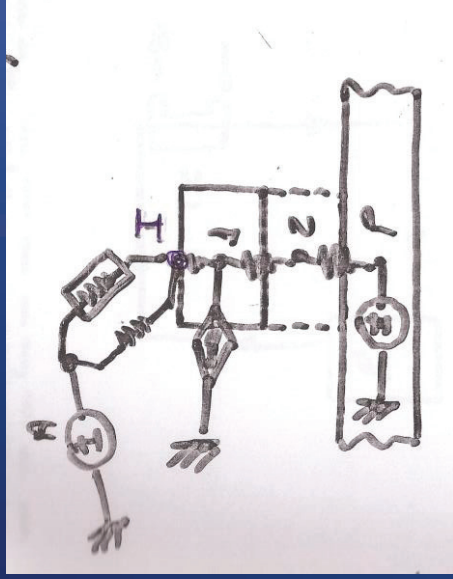


$$C_1 \dot{T}_1 = G_{1A}(T_A - T_1) + G_{21}(T_2 - T_1) + Q$$

$$C_1 \dot{T}_2 = G_{12}(T_1 - T_2) + G_{2P}(T_P - T_2)$$



## Introduzindo radiação



$$\begin{cases} G_{11}(T_1 - T_1) + G_{12}(T_2 - T_1) + Q = 0 \\ G_{12}(T_1 - T_2) + G_{1P}(T_P - T_2) = 0 \\ G_{11}(T_1 - T_I) + G_{1A}(T_A - T_I) + G_{IA}^r(T_A - T_I) = 0 \end{cases}$$

$$G_{IA}^r = \xi_1 \alpha_2 T S F_{12} (T_A^Z + T_I^Z) (T_A + T_I)$$

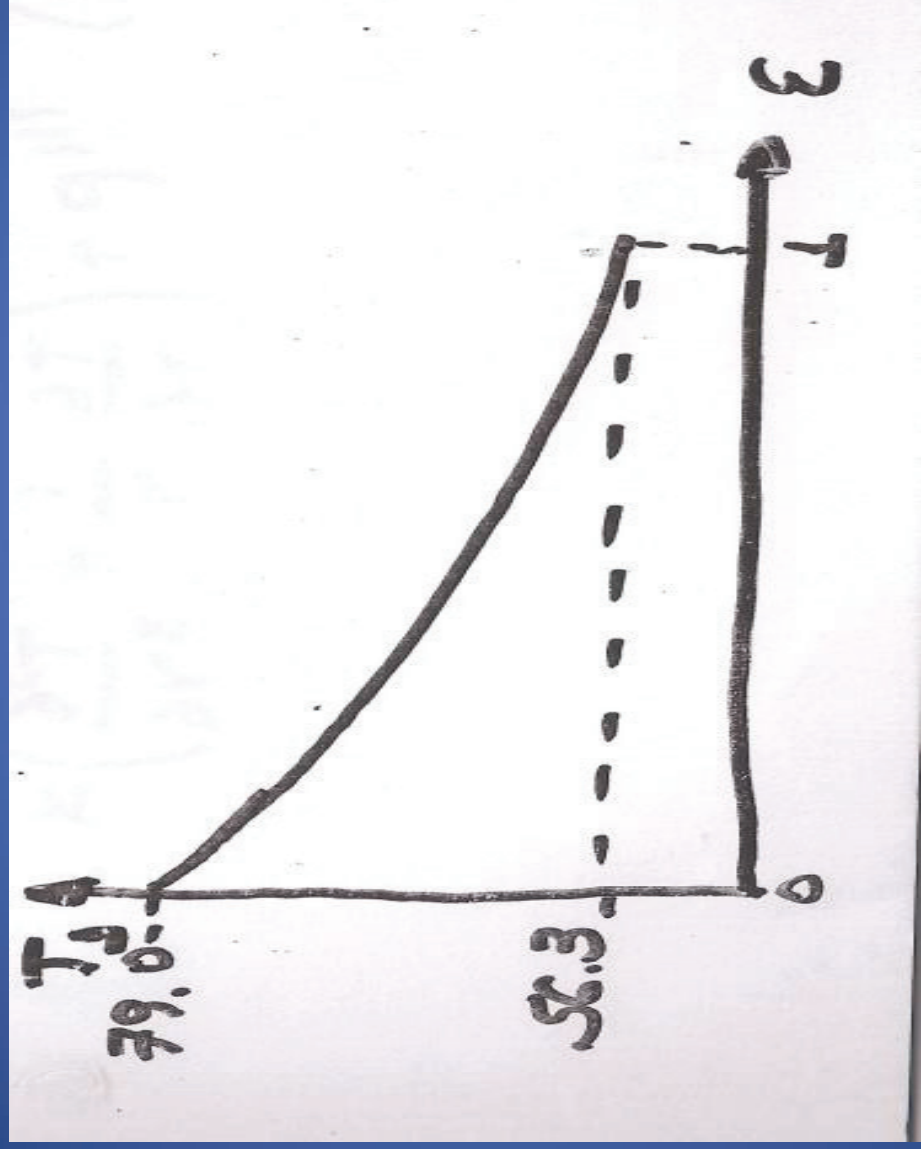
$$\left. \begin{aligned} \xi_1 &= 1 \\ \alpha_2 &= 1 \\ F_{12} &= 1 \end{aligned} \right\}$$

$$T_1 = 56.33$$

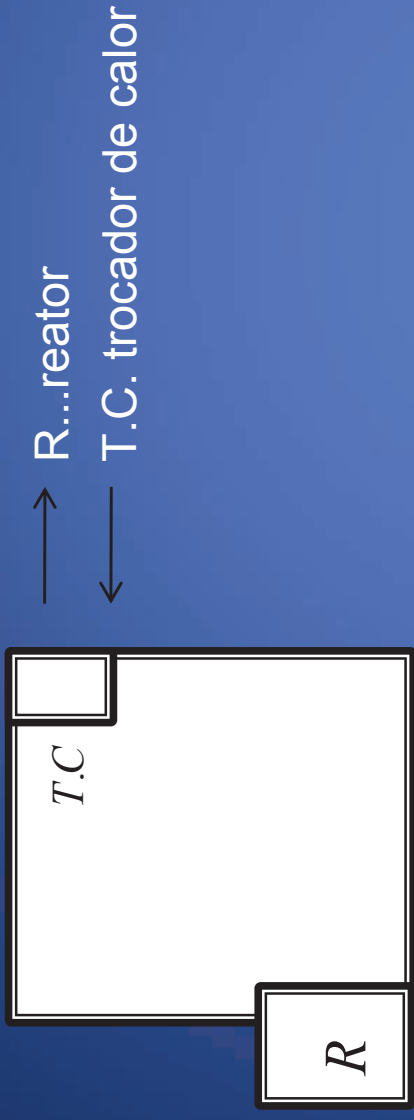
$$T_2 = 50.14$$

$$T_I = 55.82$$

# Análise de sensibilidade a $\xi_1$



## Circulação natural – modelagem



Hipóteses:

- Escoamento uni-dimensional
- Incompressível
- Propriedades termo-físicas constantes (exceto ?)

### Equações de conservação

$$\rho \circ \frac{\partial u}{\partial t} + u \frac{\partial u}{\partial S} = - \frac{\partial P}{\partial S} - \frac{\partial \phi}{\partial S} + \rho \vec{g} \cdot \vec{e}_g (\text{fluidos})$$

força do empuxo

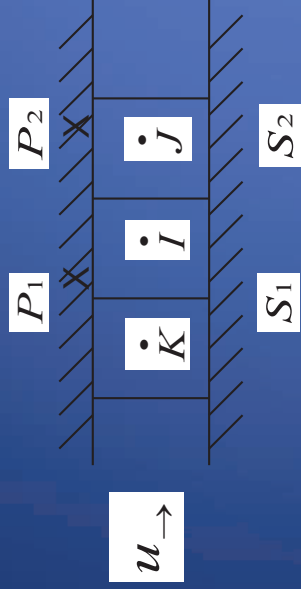
$$\rho C_p \frac{\partial T}{\partial t} + \rho C_p u \frac{dT}{\partial S} = q''' (\text{fluidos})$$

$$\rho C_p \frac{\partial T}{\partial t} + K \left( \frac{\partial^2 T}{\partial r^2} + \frac{1}{r} \right) + q''' (\text{Tubos})$$

Hipótese de Boussinesq:

$$\rho = \rho_0 (1 - \beta(T - T_0))$$

\*este termo acopla as equações de Q.M. e balanço de energia  
 Integração da equação de bal. de energia:



$$\int_{V_I} \rho C_p \frac{\partial T}{\partial t} dv = - \int_{V_I} \rho C_p u \frac{\partial T}{\partial S} dv + \int_{V_I} q''' dv$$

$\rho C_p V_I \frac{\partial T}{\partial t}$

$- \rho C_p u A (T_{S_2} - T_{S_1})$ 

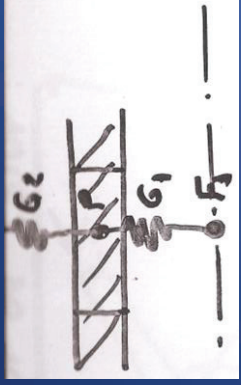
$\downarrow$   
 $T_I$

$\downarrow$   
 $T_K$

$q''' V_I$

$$\rho C_p V_I \frac{\partial T}{\partial t} = \dot{m} C_p (T_K - T_I) + h S (T_{P_1} - T_I) + Q$$

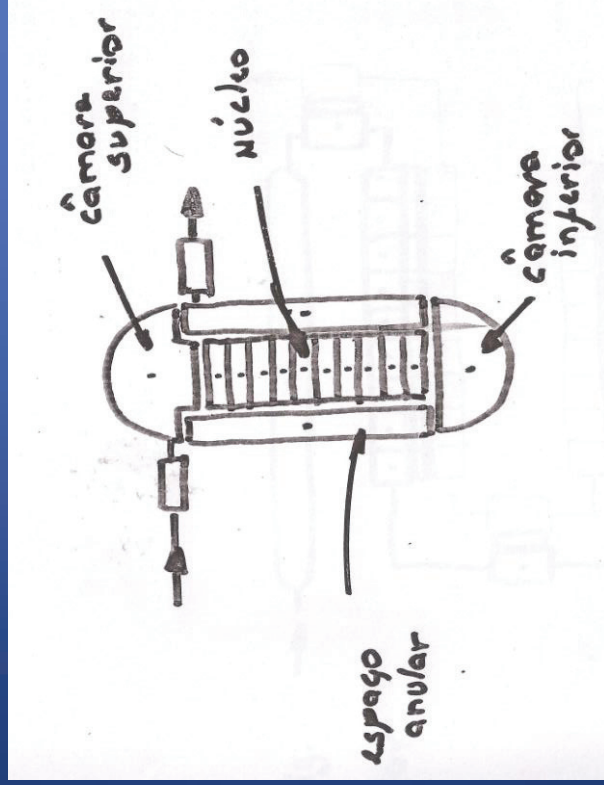




Tubos

$$\rho C_p V_P \frac{\partial T}{\partial t} = G_1(T_{F1} - T_P) + G_2(T_{F2} - T_P)$$

Representação nodal do reator:



Espaço anular e câmaras:

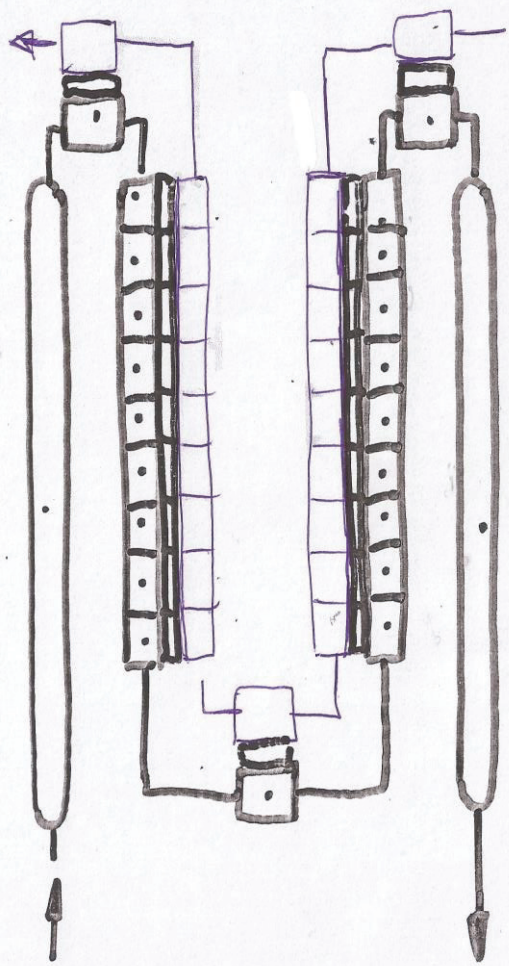
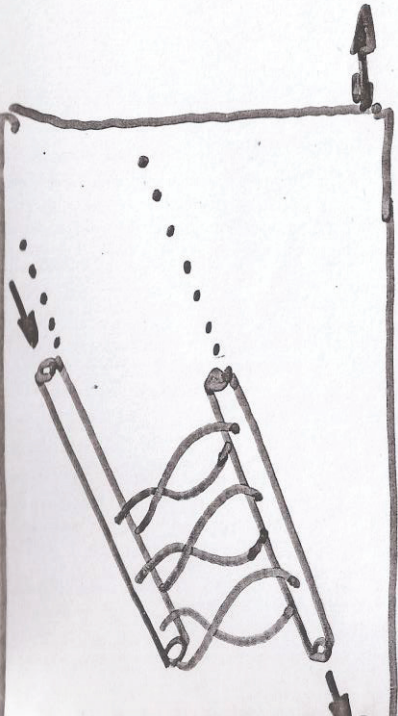
$$C_p \frac{DtP}{DT} = \dot{m} C_p (T_j - T_p)$$

Núcleo:

$$C_p \frac{dT_p}{dt} = \dot{m} C_p (T_j - T_p) + Q$$

Fluxo de Calor em proveniência das varetas combustíveis.

Intercambiador de Calor:



Refrig. do motor

— tubos

Água de resfriamento